

Ultimo aggiornamento delle informazioni: Maggio 2024

Configurazione di prodotto: MT25

MT25: 1196 X 296 mm - LED warm white - alimentatore DALI - ottica luminanza controllata UGR<19



Codice prodotto

MT25: 1196 X 296 mm - LED warm white - alimentatore DALI - ottica luminanza controllata UGR<19 **Attenzione! Codice fuori produzione**

Descrizione tecnica

Apparecchio ad incasso o plafone (tramite accessorio da ordinare separatamente) ad emissione diretta finalizzato all'impiego di sorgenti LED warm white 3000K ad alta resa cromatica. Il vano ottico è composto da una cornice estrusa bianca, uno schermo diffusore in metacrilato per emissione con luminanza controllata UGR<19L<3.000 cd/m² per $\alpha \geq 65^\circ$ ideale per ambienti dove sono presenti videotermini e un fondello di chiusura posteriore in lamiera. i LED sono disposti nel perimetro e il driver DALI è alloggiato nella parte superiore del prodotto

Installazione

Ad incasso su controsoffitti in cartongesso (utilizzando cornice accessoria), su controsoffitti con orditura; Possibilità di installazione a plafone mediante kit da ordinare separatamente come accessorio

Colore

Bianco (01)

Montaggio

incasso a soffitto|a parete|a soffitto

Cablaggio

prodotto completo di componentistica DALI

Soddisfa EN60598-1 e relative note



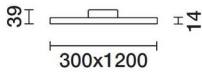
IP20

IP43

Sul prodotto visibile dopo l'installazione



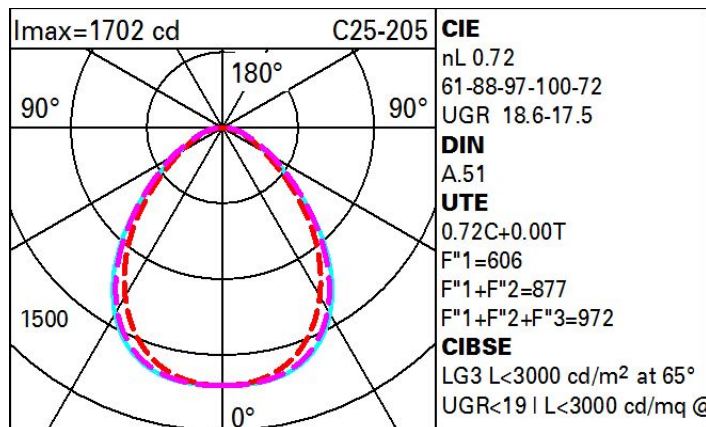
EAC



Dati tecnici

| | | | |
|--|------|------------------------------------|-------------------------------|
| Im di sistema: | 3528 | Temperatura colore [K]: | 3000 |
| W di sistema: | 39.4 | MacAdam Step: | 3 |
| Im di sorgente: | 4900 | Life Time LED 1: | 50,000h - L80 - B10 (Ta 25°C) |
| W di sorgente: | 31 | Codice lampada: | LED |
| Efficienza luminosa (lm/W, dati di sistema): | 89.5 | Numero di lampade per vano ottico: | 1 |
| Im in modalità emergenza: | - | Codice ZVEI: | LED |
| Flusso totale emesso a 90° o superiore [Lm]: | 0 | Numero di vani ottici: | 1 |
| Light Output Ratio (L.O.R.) [%]: | 72 | Control: | DALI |
| Indice di resa cromatica: | 80 | | |

Polare



Coefficienti di utilizzazione

| R | 77 | 75 | 73 | 71 | 55 | 53 | 33 | 00 | DRR |
|------|----|----|----|----|----|----|----|----|-----|
| K0.8 | 52 | 45 | 40 | 37 | 44 | 40 | 40 | 35 | 49 |
| 1.0 | 56 | 50 | 46 | 42 | 49 | 45 | 45 | 40 | 56 |
| 1.5 | 63 | 58 | 54 | 51 | 57 | 54 | 53 | 49 | 68 |
| 2.0 | 67 | 63 | 60 | 57 | 62 | 59 | 58 | 54 | 75 |
| 2.5 | 69 | 66 | 63 | 61 | 64 | 62 | 61 | 58 | 80 |
| 3.0 | 71 | 68 | 66 | 64 | 66 | 64 | 63 | 60 | 84 |
| 4.0 | 72 | 70 | 68 | 67 | 69 | 67 | 66 | 63 | 87 |
| 5.0 | 73 | 72 | 70 | 69 | 70 | 69 | 67 | 65 | 90 |

Curva limite di luminanza

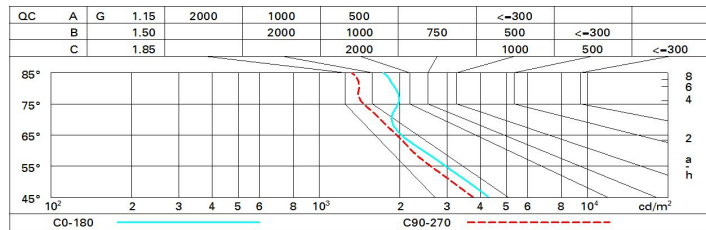


Diagramma UGR

| Corrected UGR values (at 4900 lm bare lamp luminous flux) | | | | | | | | | | | |
|---|------|------------------|------|------|------|------------|----------------|------|------|------|------|
| Reflect.: | | viewed crosswise | | | | | viewed endwise | | | | |
| ceil/cav | | 0.70 | 0.70 | 0.50 | 0.50 | 0.30 | 0.70 | 0.70 | 0.50 | 0.50 | 0.30 |
| walls | | 0.50 | 0.30 | 0.50 | 0.30 | 0.30 | 0.50 | 0.30 | 0.50 | 0.30 | 0.30 |
| work pl. | | 0.20 | 0.20 | 0.20 | 0.20 | 0.20 | 0.20 | 0.20 | 0.20 | 0.20 | 0.20 |
| Room dim | | | | | | | | | | | |
| x | y | | | | | | | | | | |
| 2H | 2H | 10.0 | 17.0 | 16.3 | 17.3 | 17.5 | 15.4 | 16.4 | 15.7 | 16.7 | 16.9 |
| | 3H | 10.8 | 17.8 | 17.2 | 18.0 | 18.3 | 15.7 | 16.6 | 16.1 | 16.9 | 17.2 |
| | 4H | 11.3 | 18.1 | 17.6 | 18.4 | 18.7 | 15.8 | 16.7 | 16.2 | 17.0 | 17.3 |
| | 6H | 11.7 | 18.4 | 18.0 | 18.8 | 19.1 | 15.8 | 16.6 | 16.2 | 16.9 | 17.3 |
| | 8H | 11.8 | 18.6 | 18.2 | 18.9 | 19.2 | 15.8 | 16.6 | 16.2 | 16.9 | 17.2 |
| 12H | 11.9 | 18.6 | 18.3 | 19.0 | 19.3 | 15.8 | 16.5 | 16.2 | 16.8 | 17.2 | |
| 4H | 2H | 10.3 | 17.2 | 16.7 | 17.5 | 17.8 | 16.6 | 17.4 | 16.9 | 17.7 | 18.0 |
| | 3H | 11.3 | 18.0 | 17.7 | 18.4 | 18.8 | 17.1 | 17.8 | 17.5 | 18.2 | 18.5 |
| | 4H | 11.9 | 18.5 | 18.3 | 18.9 | 19.3 | 17.3 | 17.9 | 17.7 | 18.3 | 18.7 |
| | 6H | 12.4 | 19.0 | 18.9 | 19.4 | 19.8 | 17.4 | 18.0 | 17.9 | 18.4 | 18.8 |
| | 8H | 12.6 | 19.1 | 19.1 | 19.6 | 20.0 | 17.5 | 18.0 | 17.9 | 18.4 | 18.8 |
| 12H | 12.8 | 19.3 | 19.2 | 19.7 | 20.2 | 17.5 | 17.9 | 17.9 | 18.4 | 18.8 | |
| 8H | 4H | 11.0 | 18.5 | 18.4 | 18.9 | 19.4 | 17.9 | 18.4 | 18.3 | 18.8 | 19.3 |
| | 6H | 11.7 | 19.1 | 19.2 | 19.6 | 20.1 | 18.2 | 18.6 | 18.6 | 19.0 | 19.5 |
| | 8H | 11.9 | 19.4 | 19.5 | 19.9 | 20.4 | 18.3 | 18.7 | 18.8 | 19.1 | 19.6 |
| | 12H | 12.3 | 19.6 | 19.8 | 20.1 | 20.6 | 18.4 | 18.7 | 18.9 | 19.2 | 19.7 |
| 12H | 4H | 11.0 | 18.5 | 18.4 | 18.9 | 19.4 | 18.0 | 18.5 | 18.5 | 18.9 | 19.4 |
| | 6H | 11.8 | 19.1 | 19.2 | 19.6 | 20.1 | 18.3 | 18.7 | 18.8 | 19.2 | 19.7 |
| | 8H | 12.1 | 19.5 | 19.6 | 19.9 | 20.5 | 18.5 | 18.8 | 19.0 | 19.3 | 19.9 |
| Variations with the observer position at spacing: | | | | | | | | | | | |
| S = | 1.0H | 0.2 / -0.3 | | | | 0.2 / -0.3 | | | | | |
| | 1.5H | 0.4 / -0.9 | | | | 0.4 / -0.9 | | | | | |
| | 2.0H | 1.0 / -1.2 | | | | 0.9 / -1.3 | | | | | |